

بررسی اثر عدم قطعیت‌های ذاتی و شناختی در منحنی‌های شکنندگی سیستم قاب خمشی فولادی*

امیرحسین گرجی^(۱)احسان درویشان^(۲)حسین باباجانیان بیشه^(۳)

چکیده هدف از انجام این پژوهش بررسی اثر عدم قطعیت‌های ذاتی و شناختی مهم بر عملکرد لرزه‌ای قاب‌های خمشی فولادی متوسط می‌باشد. برای انجام این ارزیابی از تحلیل دینامیکی افزایشی تعمیم‌یافته استفاده شده است. برای مدل سازی ریاضی اثر عدم قطعیت‌های ذاتی رکورد به رکورد زلزله از چهل رکورد متفاوت زلزله در حوزه‌ی دور استفاده شده است. برای مدل سازی اثر عدم قطعیت‌های شناختی مهم نیز، پنج پارامتر مدل سازی مصالح مفصل‌های پلاستیک المان‌های سازه‌ای (برای انجام تحلیل‌های غیر خطی) به صورت غیر قطعی و با مشخصات آماری مربوط در نظر گرفته شده است. سپس با استفاده از روش‌های ساده شده و کارآمد تولید نمونه‌های تصادفی، پنجاه ترکیب از این پنج پارامتر تولید شده است و برای هر کدام از آنها (برای هر یک از این پنجاه مدل) یک دسته منحنی تحلیل دینامیکی افزایشی استخراج شده است. نتایج این بررسی حاکی از آن است که پارامترهای دارای عدم قطعیت شناختی بیشترین تأثیر خود را بر منحنی شکنندگی متناظر با حالت حدی قابلیت استفاده بی‌وقفه (IO) دارند. به عبارت دیگر در دو حالت حدی آستانه‌ی فروریزش (CP) و ناپایداری دینامیکی (GI) اگر امکان انجام تحلیل دینامیکی افزایشی برای تمامی پنجاه نمونه نباشد، منحنی شکنندگی مربوط به مدل میانگین جواب نسبتاً قابل قبولی خواهد داشت؛ اما در مورد حالت حدی IO این‌گونه نیست و اثر عدم قطعیت‌های شناختی بسیار حائز اهمیت می‌باشد.

واژه‌های کلیدی تحلیل دینامیکی افزایشی، منحنی‌های شکنندگی، عدم قطعیت‌های ذاتی، عدم قطعیت شناختی، قاب خمشی فولادی.

A Study on the Effect of Aleatory and Epistemic Uncertainties on Fragility Curves of Steel Moment Frames

A. Gorji E. Darvishan H. Babajanian Bisheh

Abstract The aim of this study is to investigate the effect of aleatory and epistemic uncertainties on seismic performance of an intermediate steel moment frame. For this reason, generalized incremental dynamic analysis is employed. To model record-to-record aleatory uncertainties, 40 far-field ground motion records are utilized. Also, to model important epistemic uncertainties, 5 parameters of plastic hinge behavior are uncertainly modeled and statistical parameters are considered for these models. Then, by using effective simplified models of random variable production, 50 combination of these 5 parameters are produced and for each one of these models a bin of IDA curves are extracted. Results show that parameters with epistemic uncertainty affect fragilities of IO limit state more than other limit states. In other words, for CP and GI limit states fragilities of mean of models yield acceptable results even when incremental dynamic analysis cannot be conducted for all the 50 models. However, For IO level, the effect of epistemic uncertainties cannot be neglected.

Key Word Incremental Dynamic analysis, Fragility curve, Aleatory uncertainties, Epistemic uncertainties, Steel moment frame.

* تاریخ دریافت مقاله ۹۸/۱۱/۱۷ و تاریخ پذیرش آن ۹۹/۸/۶ می‌باشد.

(۱) دانش‌آموخته‌ی کارشناسی ارشد، گروه عمران، واحد رودهن، دانشگاه آزاد اسلامی، رودهن.

(۲) نویسنده‌ی مسئول، استادیار، گروه عمران، واحد رودهن، دانشگاه آزاد اسلامی، رودهن.

(۳) پژوهشگر پسا دکتری، دانشکده‌ی مهندسی عمران، دانشگاه علم و صنعت ایران، تهران.

مقدمه

کردند تا فاصله‌ی اطمینان هر یک از پارامترهای تابع چگالی لوگ نرمال را محاسبه کنند.

بنرچی و شینکوزو [8] یک روش نوین برای محاسبه‌ی منحنی‌های شکنندگی پل‌های بتنی ارائه کردند. آنها نتایج کار خود را با آسیب‌های ناشی از زلزله‌ی نورتریج کالیبره کردند.

سلیک و الینگوود [9] عملکرد لرزه‌ای قاب‌های بتنی را با استفاده از منحنی‌های شکنندگی ارزیابی کردند. آنها با مدل‌سازی عدم قطعیت‌های مربوط به مصالح بتن، از یک تابع پاسخ لرزه‌ای با در نظر گرفتن خرابی‌های ناشی از هر رکورد زلزله استفاده کردند تا بدین ترتیب پارامترهای توابع لوگ نرمال مورد بحث را تخمین بزنند. در یک مطالعه‌ی جامع توسط دلسک [6]، اثر عدم قطعیت‌های ذاتی و شناختی روی عملکرد لرزه‌ای یک قاب بتنی ۴ طبقه بررسی شد. وی در این مطالعه با استفاده از تحلیل دینامیک افزایشی تعمیم‌یافته اثر هر یک از پارامترهای عدم قطعیت را به‌تنهایی و با در نظر گرفتن ارتباط و وابستگی آنها با یکدیگر بررسی کرد.

عجمی و همکاران [10] با استفاده از تحلیل دینامیکی افزایشی تعمیم‌یافته و استفاده از روش‌های ساده‌شده‌ی تولید نمونه، اثر عدم قطعیت‌های پارامترهایی چون تنش تسلیم فولاد، مدول الاستیسیته‌ی فولاد، سرعت موج برشی خاک، ضریب میرایی بحرانی و ضریب کاهش مدول برشی را بر رفتار لرزه‌ای سکوی ثابت فلزی فراساحل بررسی کردند و سپس منحنی‌های شکنندگی لرزه‌ای را استخراج کردند.

عسگریان و اردوبادی [11] اثر عدم قطعیت‌های شناختی پارامترهایی مانند جرم، ضریب میرایی، تنش تسلیم و تنش نهایی مصالح فولاد را بر روی رفتار لرزه‌ای قاب خمشی فولادی متوسط و ویژه بررسی کردند. نتایج کار آنها بیانگر آن بود که پارامترهای دارای عدم قطعیت شناختی تأثیر بیشتری روی عملکرد لرزه‌ای قاب‌های ویژه دارند.

ترکمنی و همکاران [12] به بررسی منحنی‌های شکنندگی مربوط به شمع‌های اسکله‌ی دریایی پرداختند.

حفظ ایمنی و پایداری سازه‌ها در هنگام زلزله همواره یکی از اهداف اصلی مهندسی زلزله بوده است. در این راستا آیین‌نامه‌های ساختمانی، ضوابط لرزه‌ای سخت‌گیرانه‌ای را اعمال می‌کنند تا سازه‌ها در سطوح مختلف زلزله عملکرد مورد انتظار را از خود نشان دهند و خسارت در آنها در حد قابل قبول باشد. با این حال در چندین زلزله‌ی اخیر در سازه‌هایی خسارات زیاد رخ داد که با آخرین ویرایش آیین‌نامه‌ها طراحی شده بودند [1]. این مشکل پرسش‌های زیادی را در خصوص کارآمد بودن روش‌های طراحی موجود ایجاد کرد و نشان داد که عدم قطعیت‌های موجود، که در طراحی سازه‌ها به روش‌های موجود لحاظ نمی‌شود، تأثیر به‌سزایی در عملکرد لرزه‌ای سازه‌ها دارد [2-4]. بر این اساس تاکنون تحقیقات زیادی در جهت توسعه‌ی نگرش احتمالاتی در ارزیابی لرزه‌ای سازه‌ها و مدل‌سازی عدم قطعیت‌ها انجام شده است که در آنها عمدتاً این عدم قطعیت‌ها به دو بخش عدم قطعیت‌های ذاتی (aleatory) و شناختی (epistemic) تفکیک شده است [5].

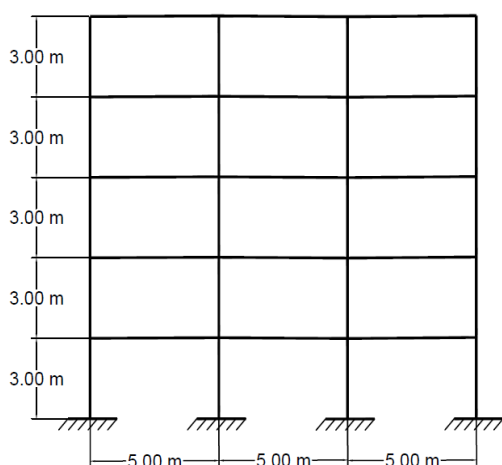
یکی از ابزارهایی که به‌شکل گسترده در تحلیل عدم قطعیت‌ها به کار برده شده است روش تحلیل دینامیکی فزاینده (IDA) می‌باشد. با این حال این روش تنها عدم قطعیت‌های ذاتی (رکورد به رکورد) را مدل می‌کند. روش تحلیل دینامیکی فزاینده‌ی تعمیم‌یافته [6] (extended IDA) ابزاری است که به تازگی برای مدل‌سازی عدم قطعیت‌های ذاتی و شناختی توسعه یافته است و تاکنون در تعدادی از تحقیقات از آن استفاده شده است.

شینوزکو و همکاران [7] یک شیوه‌ی آماری برای محاسبات منحنی‌های شکنندگی ارائه کردند که در آن، هم از توابع تحلیلی و هم از توابع تجربی شکنندگی استفاده شد. ایشان از تابع چگالی احتمال لوگ نرمال استفاده کردند تا پارامترهای این منحنی‌ها را با استفاده از روش تخمین احتمال حداکثر (MLE) محاسبه کنند و نتایج به‌دست‌آمده را با نتایج ارائه‌شده از روش خود بیان نمایند. در ضمن آنها از تست‌های آماری نیز استفاده

مختلف زلزله می باشد به طور هم زمان مورد بررسی قرار گرفته است. برای انجام این ارزیابی از تحلیل دینامیکی افزایشی تعمیم یافته استفاده شده است و نمونه های مختلف برای بررسی عدم قطعیت ها توسط روش های تولید نمونه های تصادفی ایجاد شده اند. سپس اثر عدم قطعیت های مذکور در احتمال تجاوز از حالات حدی سازه مورد بررسی قرار گرفته است.

مدل سازی و تحلیل سازه

سازه ی مورد استفاده در این مقاله، سازه ی مسکونی با ضریب اهمیت ۱ می باشد که در شهر تهران با نوع خاک تیپ ۳ [۱۶] واقع شده است. ساختمان از نوع قاب خمشی متوسط با پنج طبقه می باشد. در واقع این قاب، بخشی از یک سیستم سازه ای است که در دو جهت دارای قاب خمشی متوسط می باشد. ارتفاع تمامی طبقات برابر سه متر می باشد (شکل ۱). سازه در پلان مربع شکل است و دارای دهنه ی پنج متری می باشد. باتوجه به منظم بودن سازه، قاب پیرامونی سازه به صورت دویبعدی مدل شده است؛ لذا عرض بارگیر تیرها دو و نیم متر می باشد.



شکل ۱ قاب خمشی مورد بررسی

بارگذاری قاب بر اساس آیین نامه ی مبحث ششم مقررات ملی ساختمان [۱۷] انجام شده است. بار مرده و زنده ی طبقات به ترتیب برابر ۵۵۰ و ۲۰۰ کیلوگرم بر

آنها در این بررسی با استفاده از روش های مرسوم قابلیت اعتماد، اثر عدم قطعیت های پارامترهای متفاوتی را بر روی سازه ی مورد نظر بررسی کردند.

بهشتی اول و همکاران [۱۳] قابلیت اعتماد قاب های بتنی را با مدل سازی عدم قطعیت ها مورد مطالعه قرار دادند. عدم قطعیت های شناختی در این پژوهش شامل شکل پذیری و پارامتر ستون قوی-تیر ضعیف بود. نتایج تحلیل ها نشان داد که عدم قطعیت ها تأثیر به سزایی بر سطح عملکرد CP دارد.

نادپور و همکاران [۱۴] با در نظر گرفتن بزرگا، محل وقوع زلزله، شدت جنبش زمین در محل سازه به عنوان متغیر احتمالاتی، عملکرد قاب های خمشی فولادی به سازی شده با مهاربند را بررسی کردند. نتایج نشان داد که خطای مدل شدت جنبش زمین و خطای مدل بزرگا بیشتر تأثیر را در برآورد خسارت سازه دارند.

کیهانی و همکاران [۱۵] عدم قطعیت در تنش تسلیم، مدول الاستیسیته، جرم و میرایی را در قاب های دارای میراگر جرمی مورد بررسی قرار دادند. تحلیل های شکنندگی نشان دادند که تغییرات جرم و میرایی تأثیر بیشتری بر پاسخ سازه دارند.

به طور کلی رفتار غیرخطی قاب های خمشی وابسته به رفتار مفاصل پلاستیکی است که در قاب تشکیل می شود. بدین ترتیب لحاظ کردن عدم قطعیت در رفتار این مفاصل می تواند منجر به طراحی واقع بینانه تری شود و قابلیت اطمینان این سازه ها را در برابر زلزله افزایش دهد.

در تحقیقات نام برده بیشتر اثرات مقاومت مصالح، پارامترهای مهندسی مصالح، سختی، میرایی، شکل پذیری و پارامترهای جنبش زمین بر عدم قطعیت های پاسخ سازه ی مورد بررسی قرار گرفته است. هدف از این پژوهش بررسی اثر عدم قطعیت های شناختی شامل پارامترهای رفتار هیستریزاس اعضا بر عملکرد لرزه ای قاب های خمشی فولادی می باشد. در ضمن اثر عدم قطعیت های ذاتی نیز که ناشی از پراکندگی رکوردهای

که مقادیر فرکانس مود اول و سوم سازه به ترتیب به‌عنوان ω_1 و ω_3 در نظر گرفته شده‌اند. برای محاسبه هر یک از این فرکانس‌ها آنالیز مودال بر روی سازه انجام شده‌است و فرکانس مودهای ارتعاش سازه محاسبه شده‌اند. برای مدل‌سازی رفتار غیرخطی مصالح از فنرهای متمرکز در محل اتصالات تیر و ستون استفاده شده‌است، بدین صورت که در این محل‌ها با استفاده از المان zerolength فنرهایی به سازه تخصیص داده می‌شود. منحنی رفتار لنگر-چرخش مفاصل پلاستیک بر مبنای مدل اصلاح‌شده‌ی ایبارا و کراوینکلر می‌باشد (مصالح Bilin) [20]. شرح کامل فرضیات این روش در مرجع [21] ارائه شده‌است.

نحوه‌ی انتخاب رکورد

در این تحقیق برای مدل‌سازی عدم قطعیت‌های ذاتی زلزله در تحلیل دینامیکی افزایشی، از یک مجموعه مشتمل بر چهل رکورد زلزله‌ی دور از گسل استفاده شده‌است. نحوه‌ی انتخاب رکوردها بدین صورت است که میانه‌ی طیف پاسخ مؤلفه‌ها در راستای افقی آن‌ها با یک طیف پاسخ هدف از قبل پیش‌بینی شده از روابط کاهندگی منطبق باشد. لازم به ذکر است طیف پاسخ‌های در نظر گرفته شده مربوط به شهر تهران است و در محدوده‌ی زمان تناوب مود اول ارتعاشی هر سازه منطبق بر طیف طراحی آن سازه می‌باشد [23]. کلیه‌ی رکوردها از پایگاه داده‌ی PEER-NGA [24] استخراج شده‌اند.

این رکوردها با هدف تحلیل و طراحی برای سازه‌ی خاصی انتخاب نشده‌اند و پراکندگی شکل طیف پاسخ آنها به‌گونه‌ای است که زلزله‌هایی با طیف‌های پاسخ متمایز در این مجموعه رکورد وجود داشته باشند تا مشخصات تصادفی رکورد زلزله در این مجموعه لحاظ شود. نام و مشخصات اصلی این مجموعه رکورد در جدول (۲) آورده شده‌است.

مترمربع و بار بام به ترتیب برابر ۲۰۰ و ۱۵۰ کیلوگرم بر مترمربع در نظر گرفته شده‌است. بارگذاری لرزه‌ای سازه بر اساس روش استاتیکی معادل و طبق آیین‌نامه‌ی ۲۸۰۰ [16] انجام شده‌است. لازم به ذکر است که این سازه‌ها بر مبنای آیین‌نامه‌ی AISC 360-10 [18] طراحی شده که شباهت زیادی به آیین‌نامه‌ی مبحث دهم مقررات ملی ساختمان ایران دارد. در جدول (۱) مشخصات مقاطع نهایی قاب پنج‌طبقه ارائه شده‌است.

جدول ۱ مقاطع اعضای قاب پنج‌طبقه

مقطع تیر	مقطع ستون	شماره‌ی طبقه
IPE400	BOX 320x320x10	۱ و ۲
IPE360	BOX 260x260x10	۳ و ۴
IPE300	BOX 200x200x10	۵

مدل‌سازی عددی سازه

برای مدل‌سازی عددی سازه از نرم‌افزار OpenSees [19] استفاده شده‌است. برای تبدیل مختصات محلی به مختصات کلی از روش Corotational استفاده شده‌است تا بدین ترتیب کماتش اعضا، سختی هندسی، تغییر شکل‌های بزرگ و به‌طور کلی رفتار غیرخطی هندسی اعضا نیز مدل شود. برای مدل‌سازی المان‌های تیر و ستون از المان elasticBeamColumn استفاده شده‌است. میرایی سازه به‌صورت میرایی رایلی در نظر گرفته شده‌است.

$$[c] = \alpha[M] + \beta[K] \quad (1)$$

که در آن $[c]$ ماتریس استهلاك کل سیستم، $[M]$ ماتریس جرم کل سیستم، $[K]$ ماتریس سختی کل سیستم و ضرایب α و β نیز همان ضرایب استهلاك رایلی می‌باشند [۱۷]. این ضرایب از رابطه‌ی (۲) به‌دست آمده‌اند.

$$\alpha = \xi \frac{2\omega_1\omega_j}{\omega_1+\omega_j}, \quad \beta = \xi \frac{2}{\omega_1+\omega_j} \quad (2)$$

جدول ۲ مجموعه رکوردهای انتخابی مربوط به حوزه‌ی دور زلزله [24]

شماره	شماره‌ی NGA	نام زلزله	سال	ایستگاه	M	R (km)	V ₃₀ (m/s)	PGA (m/s ²)
۱	۲۳۱	Mammoth Lakes-01	۱۹۸۰	Long Valley Dam (Upr L Abut)	۶,۱	۱۵,۵	۳۴۵	۰,۴۳
۲	۱۲۰۳	Chi-chi, Taiwan	۱۹۹۹	CHY036	۷,۶	۱۶,۱	۲۳۳	۰,۲۷
۳	۸۲۹	Cape Mendocino	۱۹۹۲	Rio Dell Overpass - FF	۷,۰	۱۴,۳	۳۱۲	۰,۱۴
۴	۱۶۹	Imperial Valley-06	۱۹۷۹	Delta	۶,۵	۲۲,۰	۲۷۵	۰,۳۵
۵	۱۱۷۶	Kocaeli, Turkey	۱۹۹۹	Yarimca	۷,۵	۴,۸	۲۹۷	۰,۳۳
۶	۱۶۳	Imperial Valley-06	۱۹۷۹	Calipatria Fire Station	۶,۵	۲۴,۶	۲۰,۶	۰,۱۳
۷	۱۲۰۱	Chi-chi, Taiwan	۱۹۹۹	CHY034	۷,۶	۱۴,۸	۳۷۹	۰,۳۰
۸	۱۴۰۲	Chi-chi, Taiwan	۱۹۹۹	NST	۷,۶	۳۸,۴	۳۷۵	۰,۳۱
۹	۱۱۵۸	Kocaeli, Turkey	۱۹۹۹	Duzce	۷,۵	۱۵,۴	۲۷۶	۰,۳۶
۱۰	۲۸۱	Trinidad	۱۹۸۰	Rio Dell Overpass - E Ground	۷,۲	-	۳۱۲	۰,۱۶
۱۱	۷۳۰	Spitak, Armenia	۱۹۸۸	Gukasian	۶,۸	-	۲۷۵	۰,۱۷
۱۲	۷۶۸	Loma Prieta	۱۹۸۹	Gilroy Array #4	۶,۹	۱۴,۳	۲۲۲	۰,۴۲
۱۳	۱۴۹۹	Chi-chi, Taiwan	۱۹۹۹	TCU060	۷,۶	۸,۵	۲۷۳	۰,۲۰
۱۴	۲۶۶	Victoria, Mexico	۱۹۸۰	Chihuahua	۶,۳	۱۹,۰	۲۷۵	۰,۱۵
۱۵	۷۶۱	Loma Prieta	۱۹۸۹	Fremont - Emerson Court	۶,۹	۳۹,۹	۲۸۵	۰,۱۹
۱۶	۵۵۸	Chalfant Valley-02	۱۹۸۶	Zack Brothers Ranch	۶,۲	۷,۶	۲۷۱	۰,۴۴
۱۷	۱۵۴۳	Chi-chi, Taiwan	۱۹۹۹	TCU118	۷,۶	۲۶,۸	۲۱۵	۰,۱۱
۱۸	۲۱۱۴	Denali, Alaska	۲۰۰۲	TAPS Pump Station #10	۷,۹	۲,۷	۳۲۹	۰,۳۳
۱۹	۱۷۹	Imperial Valley-06	۱۹۷۹	El Centro Array #4	۶,۵	۷,۱	۲۰,۹	۰,۴۸
۲۰	۹۳۱	Big Bear-01	۱۹۹۲	San Bernardino E & Hospitality	۶,۵	-	۲۷۱	۰,۱۰
۲۱	۹۰۰	Landers	۱۹۹۲	Yermo Fire Station	۷,۳	۲۳,۶	۳۵۴	۰,۲۴
۲۲	۱۰۸۴	Northridge-01	۱۹۹۴	Sylmar - Converter Sta	۶,۷	۵,۴	۲۵۱	۰,۹۲
۲۳	۶۸	San Fernando	۱۹۷۱	LA - Hollywood Stor FF	۶,۶	۲۲,۸	۳۱۷	۰,۲۲
۲۴	۵۲۷	N. Palm Springs	۱۹۸۶	Morongo Valley	۶,۱	۱۲,۱	۳۴۵	۰,۲۲
۲۵	۷۷۶	Loma Prieta	۱۹۸۹	Hollister - South & Pine	۶,۹	۲۷,۹	۳۷۱	۰,۳۷
۲۶	۱۴۹۵	Chi-chi, Taiwan	۱۹۹۹	TCU055	۷,۶	۶,۴	۲۷۳	۰,۲۴
۲۷	۱۱۹۴	Chi-chi, Taiwan	۱۹۹۹	CHY025	۷,۶	۱۹,۱	۲۷۸	۰,۱۶
۲۸	۱۶۱	Imperial Valley-06	۱۹۷۹	Brawley Airport	۶,۵	۱۰,۴	۲۰,۹	۰,۲۲
۲۹	۱۲۳۶	Chi-chi, Taiwan	۱۹۹۹	CHY088	۷,۶	۳۷,۵	۲۷۳	۰,۲۱
۳۰	۱۶۰۵	Duzce, Turkey	۱۹۹۹	Duzce	۷,۱	۶,۶	۲۷۶	۰,۵۱
۳۱	۱۵۰۰	Chi-chi, Taiwan	۱۹۹۹	TCU061	۷,۶	۱۷,۲	۲۷۳	۰,۱۵
۳۲	۸۰۲	Loma Prieta	۱۹۸۹	Saratoga - Aloha Ave	۶,۹	۸,۵	۳۷۱	۰,۵۱
۳۳	۶	Imperial Valley-02	۱۹۴۰	El Centro Array #9	۷,۰	۶,۱	۲۱۳	۰,۲۸
۳۴	۲۶۵۶	Chi-chi, Taiwan-03	۱۹۹۹	TCU123	۶,۲	۳۱,۸	۲۷۳	۰,۰۷
۳۵	۹۸۲	Northridge-01	۱۹۹۴	Jensen Filter plant	۶,۷	۵,۴	۳۷۳	۰,۶۱
۳۶	۲۵۰۹	Chi-chi, Taiwan-03	۱۹۹۹	CHY104	۶,۲	۳۵,۱	۲۲۳	۰,۱۰
۳۷	۸۰۰	Loma Prieta	۱۹۸۹	Salinas - John & work	۶,۹	۳۲,۸	۲۷۱	۰,۱۱
۳۸	۷۵۴	Loma Prieta	۱۹۸۹	Coyote Lake Dam (Downst)	۶,۹	۲۸,۸	۲۹۵	۰,۱۸
۳۹	۱۱۸۳	Chi-chi, Taiwan	۱۹۹۹	CHY008	۷,۶	۴۰,۴	۲۱۱	۰,۱۳
۴۰	۳۵۱۲	Chi-chi, Taiwan-06	۱۹۹۹	TCU141	۶,۳	۴۵,۷	۲۱۵	۰,۱۵

روش ابر مکعب لاتین

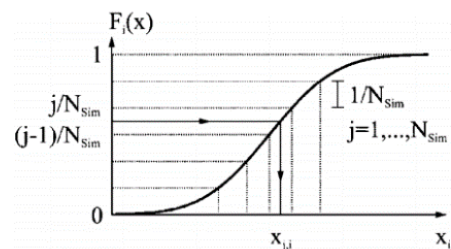
از آنجا که حجم محاسبات در شبیه‌سازی به روش مونت کارلو (MC) [25] بسیار زیاد است، الگوریتم‌های ساده‌شده‌ی بسیاری شکل گرفته‌اند تا در عین حفظ قابلیت اعتماد، حجم محاسبات لازم کاهش یابد. یکی از این روش‌ها روش ابر مکعب لاتین (LHS) [26] می‌باشد که در ادامه توضیح داده شده‌است. در این روش ناحیه‌ی انتگرال‌گیری به تعدادی زیرناحیه‌ی منظم تقسیم‌بندی می‌شود. به عبارت دیگر در این روش از تقسیم‌بندی منظم تابع توزیع احتمال مربوط به متغیر تصادفی X_i استفاده می‌شود تا به تعداد N_{Sim} ترکیب از متغیرهای تصادفی تولید شود. در واقع X_{ij} بیانگر مقدار مربوط به نمونه‌ی j ام از متغیر تصادفی i ام می‌باشد که توسط رابطه‌ی زیر محاسبه می‌شود.

$$x_{j,i} = F_i^{-1}(p_{j,i}) = F_i^{-1}\left(\frac{j-0.5}{N_{Sim}}\right), i = 1, 2, \dots, N_{Var}$$

$$j = 1, 2, \dots, N_{Sim}$$

(۳)

در این رابطه $p_{j,i}$ بیانگر احتمال مربوط به متغیر تصادفی x_i کوچک‌تر یا مساوی $x_{j,i}$ است و F_i^{-1} نیز تابع توزیع احتمال معکوس مربوط به متغیر x_i می‌باشد. در این تحقیق تعداد متغیرهای تصادفی، N_{Var} برابر ۵ و تعداد ترکیب‌های تولید شده از آنها، N_{Sim} برابر ۵۰ می‌باشد.



شکل ۲ نحوه تولید نمونه‌های تصادفی با روش LHS [26]

در این روش نمونه‌گیری، یک هم‌بستگی ذاتی ناصحیح بین مقادیر متغیرهای تصادفی ایجاد می‌شود که برای حداقل کردن میزان خطا E (بین هم‌بستگی هدف T مربوط به متغیرهای تصادفی و هم‌بستگی ذاتی ذکر شده

(A) از روش تبرید شبیه‌سازی شده (SA) که یکی از الگوریتم‌های توسعه‌یافته در هوش مصنوعی است، استفاده شده‌است [27].

تبرید شبیه‌سازی شده

در الگوریتم شبیه‌سازی تبرید (SA)، نقطه‌ی s یک حالت از سیستم فیزیکی محسوب می‌شود و تابع $E(s)$ مشابه با انرژی داخلی سیستم در حالت s است. هدف آن است که با شروع سیستم از یک حالت اولیه‌ی دل‌خواه (یک s_0 دل‌خواه)، به حالتی رسیده شود که تابع $E(s)$ در آن کمینه است. در واقع، با شروع از یک حالت دل‌خواه از سیستم فیزیکی، به حالتی رسیده می‌شود که انرژی داخلی سیستم در آن حالت کمینه است (سیستم کمترین انرژی را در آن حالت خواهد داشت). این تعاریف به فرم ریاضی این گونه تعریف می‌شود که اختلاف بین ماتریس‌های هم‌بستگی به صورت زیر تعریف شود و خطای کلی بر مبنای رابطه‌ی (۴) کمینه شود [27].

$$E = \sum_{i=1}^{N_{var}} \sum_{j=i+1}^{N_{var}} W_{ij} (E_{ij})^2 \quad (۴)$$

در این رابطه W_{ij} وزن متناظر با هر درایه از ماتریس $E = T - A$ می‌باشد. در ساده‌ترین الگوریتم SA دو مرحله به شرح زیر وجود دارد:

۱. جهش. در این مرحله چیدمان فرزند (نسل جدید) از درایه‌های مربوط به ترکیب متغیرهای تصادفی تولید می‌شود.
۲. انتخاب. در این مرحله چیدمان فرزند انتخاب می‌شود اگر و تنها اگر مقدار خطای رابطه‌ی (۳) کاهش یابد. در غیر این صورت چیدمان والد از نسل قبل باقی خواهد ماند. در واقع به زبان ریاضی شرط پذیرش چیدمان نسل جدید بر مبنای اختلاف خطای ΔE بین نسل جدید E_{off} و نسل قدیم E_{par} قابل محاسبه است.

آماره‌ی آزمون KS یعنی D به صورت زیر تعریف می‌شود:

$$D = \max_{i=1}^n \{ |ECDF(x_i) - F(x_i)| \}$$

$$= \max_{i=1}^n \left\{ \left| \frac{i}{n} - F(x_i) \right| \right\} \quad (5)$$

در یک آزمون آماری احتمال این که یک فرض اولیه صحیح باشد، اما به اشتباه، آن فرض رد شود، خطای نوع اول تعریف می‌شود. در واقع α سطح اهمیت است و در یک سطح اهمیت خاص اگر اندازه‌ی آماره‌ی تست KS از مقدار $c_{n,\alpha}$ بزرگ‌تر باشد فرض اولیه رد می‌شود ($H=1$) و در غیر این صورت این فرض قابل قبول می‌باشد ($H=0$). لازم به ذکر است که $c_{n,\alpha}$ معیار تست آماری است و تابعی از n و α می‌باشد که از طریق رابطه‌ی زیر قابل محاسبه است [29].

$$P(D > c_{n,\alpha}) = \alpha \quad (6)$$

در این رابطه P بیانگر احتمال می‌باشد و طبق تعریف حداقل میزان α که باعث قبول شدن فرض آزمون می‌گردد P-Value نامیده می‌شود. در واقع P-Value تابعی از توزیع تجربی است و اگر مقدار آن از α بزرگ‌تر یا مساوی با آن باشد، آزمون پذیرفته می‌شود و در غیر این صورت آزمون رد می‌شود. معمولاً مقادیری که برای α در نظر گرفته می‌شود برابر 0.05، 0.01 و یا 0.1 است که در این تحقیق مقدار 0.05 در نظر گرفته شده است [30].

$$P(\Delta E = E_{\text{Off}} - E_{\text{Par}})$$

$$= \left\{ \begin{array}{l} \Delta E \leq 0 \\ \frac{1}{1 + \exp(\Delta E/t)} \Delta E > 0 \end{array} \right\} \quad (5)$$

در این رابطه $P(\Delta E)$ احتمال پذیرش چیدمان با سطح انرژی بالاتر است که از تابع بولتزمن تبعیت می‌کند. در ضمن t نیز بیانگر دما می‌باشد. حال اگر $\Delta E > 0$ باشد، $P(\Delta E)$ باید با مقدار عددی متغیر تصادفی یکنواخت U از بازه‌ی $(0,1)$ انتخاب شود. اگر $P(\Delta E) < u$ باشد، چیدمان مربوط به نسل جدید انتخاب می‌شود و در غیر این صورت چیدمان مربوط به نسل قبل باقی می‌ماند. این روند تا زمانی که خطا به مقدار قابل قبولی برسد ادامه خواهد یافت.

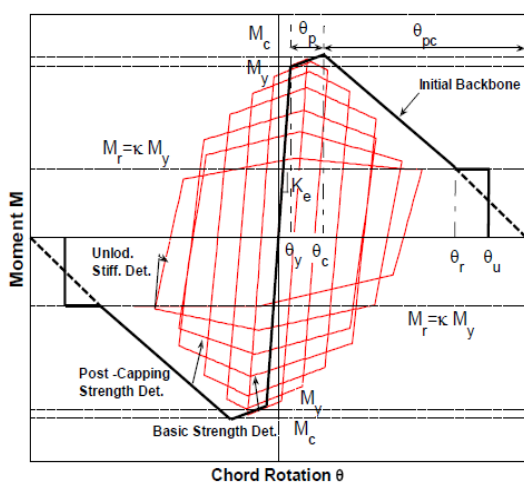
آزمون آماری برازندگی

آزمون تشخیص برازندگی یک روش آماری برای تشخیص این است که آیا متغیر مورد بحث، از یک تابع توزیع احتمال خاص تبعیت می‌کند یا خیر. در این زمینه، آزمون آماری کولموگروف-اسمیرنف (KS) یکی از تست‌های معتبر آماری می‌باشد که کاربرد بسیار زیادی دارد و البته استفاده از آن نیز بسیار ساده می‌باشد [28]. اگر فرض شود $x_1, x_2, x_3, \dots, x_n$ مقادیر مرتبط با متغیر تصادفی هستند و i نیز شمارنده‌ی متغیر باشد، تابع توزیع تجربی متغیر تصادفی، ECDF می‌باشد که مقدار آن برابر با $\frac{i}{n}$ است. حال با این فرض که $F(x)$ تابع توزیع احتمال CDF تحلیلی متغیر تصادفی باشد،

جدول ۳ مشخصات آماری متغیرهای تصادفی مفاصل پلاستیک [22]

پارامتر	θ_p	θ_{pc}	Λ	$M_y/M_{y,p}$	M_c/M_y
توزیع	لوگ نرمال	لوگ نرمال	لوگ نرمال	نرمال	نرمال
میانگین	محاسبه شده	محاسبه شده	محاسبه شده	۱,۱۷	۱,۱۱
انحراف از معیار	۰,۳۲	۰,۲۵	۰,۳۵	۰,۲۱	۰,۰۵

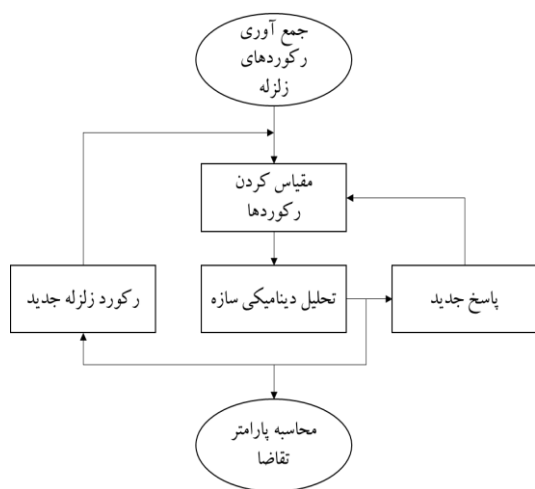
با مفاصل پلاستیک متفاوت را ایجاد کرده‌است.



شکل ۳ مدل اصلاح‌شده‌ی آبیارا-کراوینکلر برای بارگذاری چرخه‌ای [21]

تحلیل IDA

در اولین گام، تحلیل IDA بر روی قاب‌ها انجام شد. این تحلیل به صورت دینامیک رفتار سازه را از ناحیه‌ی الاستیک تا فروریزش نشان می‌دهد. در شکل (۴) مراحل این روش به صورت شماتیک نشان داده شده‌است. منحنی‌های IDA سازه در شکل (۵) ترسیم شده‌است.



شکل ۴ مراحل روش IDA

جدول ۴ مقادیر عددی کوواریانس بین متغیرهای تصادفی [22]

پارامتر	θ_p	θ_{pc}	Λ	$M_y/M_{y,p}$	M_c/M_y
θ_p	۱,۰۰	۰,۶۹	۰,۴۴	۰	۰
θ_{pc}	۰,۶۹	۱,۰۰	۰,۶۷	۰	۰
Λ	۰,۴۴	۰,۶۷	۱,۰۰	۰	۰
$M_y/M_{y,p}$	۰	۰	۰	۱,۰۰	۰
M_c/M_y	۰	۰	۰	۰	۱,۰۰

مدل‌سازی عدم قطعیت‌های شناختی

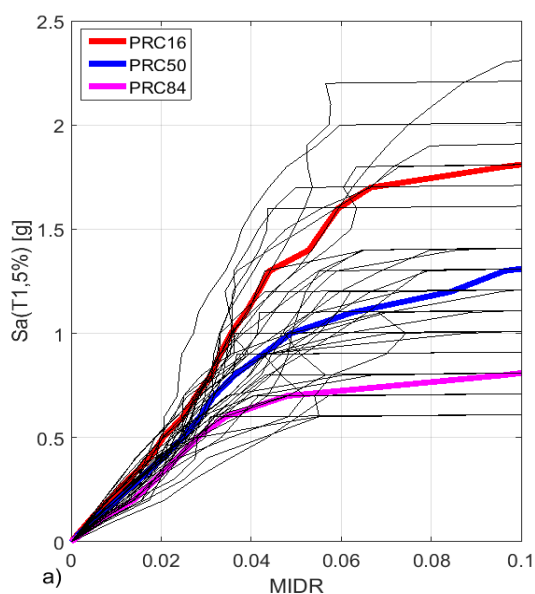
همان‌طور که پیشتر گفته شد، برای لحاظ کردن عدم قطعیت‌های ناشی از رفتار مفاصل پلاستیک (عدم قطعیت شناختی) در ابتدا نیاز به یک مدل هیستریزس است که بتواند تمام پدیده‌های تأثیرگذار روی تعیین تقاضای لرزه‌ای تا خرابی را در برگیرد. مدل مفاصل پلاستیک متمرکز اولین بار در سال ۱۹۹۳ توسط رهنما و کراوینکلر [31] مطرح شد که به‌طور گسترده‌ای در طی ده سال اخیر استفاده شده‌است. آخرین اصلاح این مدل، مدل اصلاح‌شده‌ی آبیارا-کراوینکلر [21] می‌باشد که در این تحقیق استفاده شده‌است (شکل ۳). سه جزء اصلی این مدل شامل موارد زیر است:

۱. منحنی پوش هیستریزس که رفتار اولیه‌ی یک سیستم بدون کاهندگی سیکلیک را تعریف می‌کند.
۲. یک مجموعه قوانین که مدل هیستریزس را بین حدود تعیین‌شده توسط منحنی پوش هیستریزس تعریف می‌کند.
۳. مجموعه قوانینی که مودهای کاهندگی را با توجه به حدود منحنی پوش هیستریزس تعریف می‌کند.

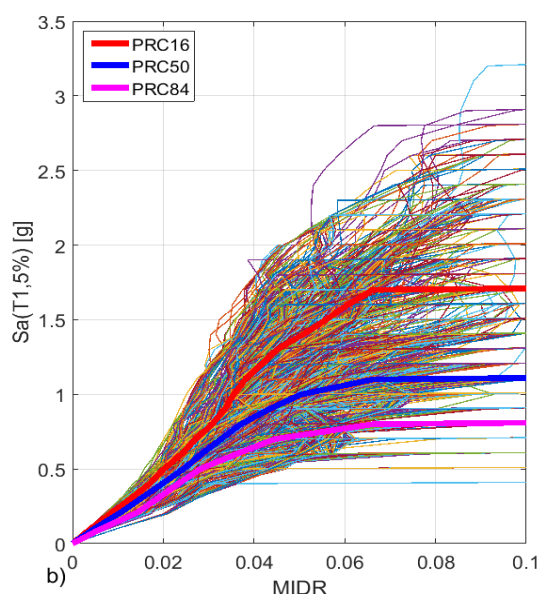
در مرحله‌ی بعد، پنجاه مدل هیستریزس به صورت تصادفی تولید شده‌است که دارای پارامترهای متغیر فوق می‌باشند. ضمناً به منظور مقایسه، یک مدل نیز که دارای پارامترهای میانگین است در نظر گرفته شده‌است. این مدل‌های هیستریزس به قاب خمشی مورد مطالعه اختصاص داده شده‌است که مجموعاً پنجاه مدل سازه‌ای

خلاصه شده‌ی IDA در هر دو شکل تقریباً دارای رفتار یکسان هستند. توضیح بیشتر آن که چه در مدل میانگین و چه در مورد همه‌ی پنجاه مدل، ۱۶٪، ۵۰٪ و ۸۴٪ رکوردها تقریباً در سطوح 0.7g، 1.2g و 1.7g به حد خرابی خود می‌رسند. البته این اختلاف در مورد منحنی خلاصه شده در صدک ۵۰٪ کمی بیشتر می‌باشد. برای بررسی بیشتر تغییرات منحنی‌های خلاصه شده‌ی IDA، شکل (۶) رسم شده است. همان‌طور که ملاحظه می‌شود، هرچه سطح شتاب طیفی بیشتر می‌شود، میزان پراکندگی گریز مربوط به این منحنی‌ها نیز بیشتر می‌شود و هرچه مقدار گریز نیز بیشتر می‌گردد، مقدار پراکندگی شتاب طیفی مربوط به این منحنی‌ها نیز بیشتر می‌شود. از طرفی پراکندگی شتاب طیفی منحنی‌های خلاصه شده نشانگر آن است که صدک ۸۴٪ اکثر رکوردها از نظر رسیدن به حد خرابی دارای رفتار مشابهی است، اما در صدک ۱۶ رفتار متفاوتی مشاهده می‌شود.

همچنین به منظور خلاصه‌سازی انبوه اطلاعات به دست آمده در تحلیل IDA، دسته‌ی منحنی‌های IDA و منحنی‌های خلاصه شده‌ی مربوط به مدل میانگین رسم شده است (شکل ۵- الف). در شکل (۵- ب) نیز دسته منحنی‌های IDA مربوط به تمامی پنجاه ترکیب تصادفی (۲۰۰۰ منحنی) در یک دستگاه مختصات رسم شده‌اند. در این شکل، منحنی‌های خلاصه شده‌ی هر ۲۰۰۰ رکورد نیز ترسیم شده است. در این شکل‌ها، محور افقی مربوط به مقادیر گریز (MIDR) است و محور قائم نیز مربوط به مقادیر شتاب طیفی در زمان تناوب مود اول ارتعاشی سازه با در نظر گرفتن ضریب میرایی ۵٪ است. شکل (۵) حاوی اطلاعات بسیار مهمی می‌باشد. برای مثال در مدل میانگین اولین و آخرین رکورد زلزله به ترتیب در سطوح 0.6g و 2.3g به حد خرابی می‌رسد. این در حالی است که در سایر مدل‌ها اولین و آخرین رکورد زلزله به ترتیب در سطوح 0.4g و 3.25g به حد خرابی می‌رسد، اما ملاحظه می‌گردد که منحنی‌های

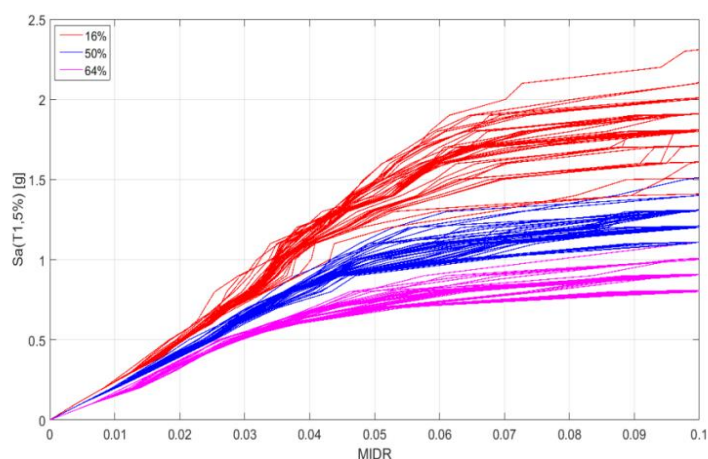


(ب)

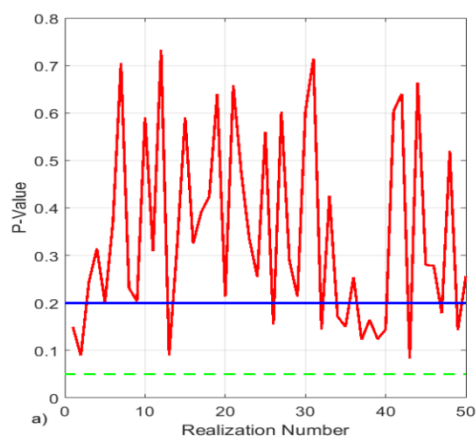


(الف)

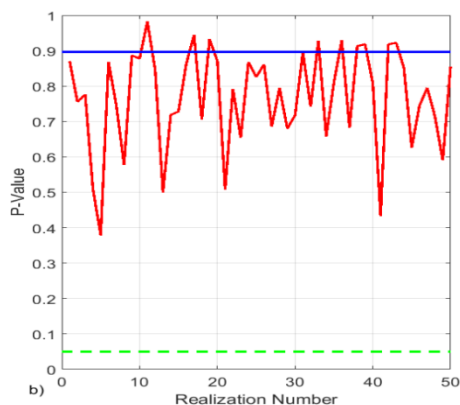
شکل ۵ منحنی‌های IDA و منحنی‌های خلاصه شده: (الف) مدل میانگین، (ب) پنجاه مدل تصادفی



شکل ۶ منحنی‌های خلاصه‌شده‌ی IDA برای تمامی پنجاه مدل تصادفی



الف) حالت حدی IO



ب) حالت حدی GI

شکل ۷ مقادیر P-value تست KS

مطابق شکل، در هر دو نمودار (که متناظر با حالات حدی IO و CP هستند) مشخص است که

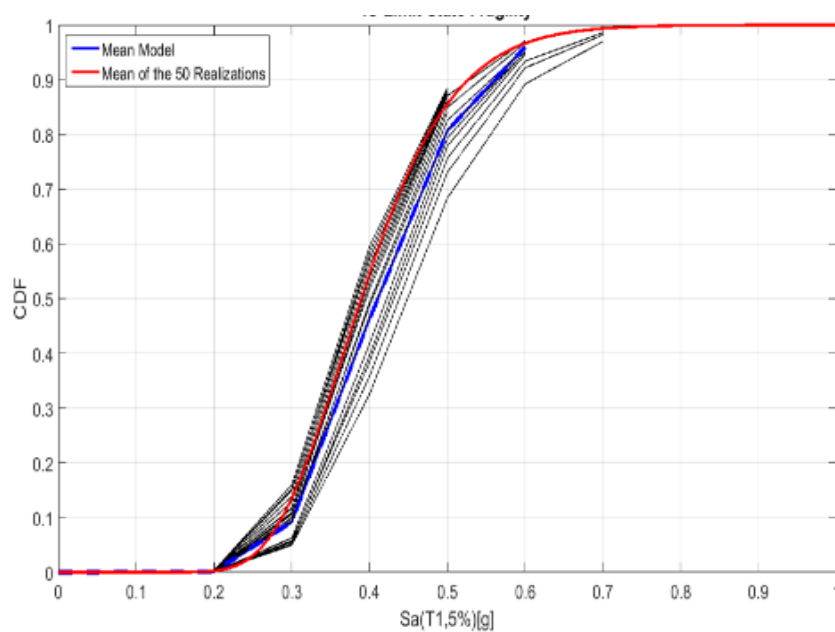
منحنی‌های شکنندگی

برای رسم منحنی‌های شکنندگی، ابتدا حالات حدی IO، CP و GI تعریف شده‌اند. حد IO یا حد سکونت فوری متناظر با گریز 0.02 در منحنی‌های IDA است. CP یا آستانه‌ی ریزش، حداقل مقدار گریز 0.1 و گریز متناظر با نقطه‌ای از IDA است، که در آن نقطه شیب منحنی IDA به اندازه‌ی 0.20 شیب اولیه‌ی آن می‌باشد. در نهایت G نیز به صورت ناپایداری دینامیکی سازه تعریف شده است که معادل با نقطه‌ای از منحنی IDA است که در آنجا منحنی به صورت افقی درمی‌آید [32].

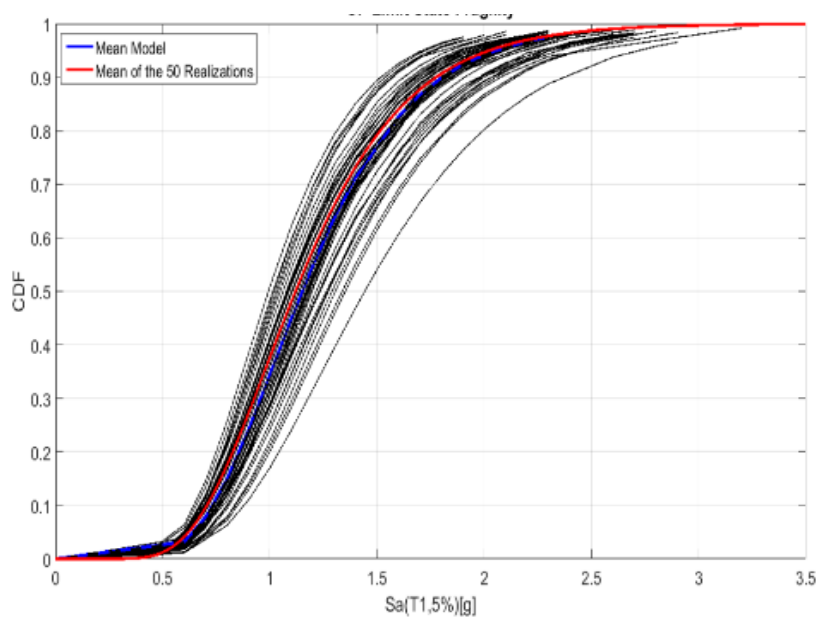
حال می‌باید قبل از ترسیم منحنی‌های شکنندگی لرزه‌ای، فرض لوگ نرمال بودن شتاب‌های طیفی متناظر با هر سه حالت حدی برای تمامی مدل‌های تصادفی بررسی شود. برای این منظور از تست آماری KS استفاده شده است. خروجی این آزمون، احتمال P-Value می‌باشد (محور قائم در شکل ۵) که اگر مقدار آن بزرگ‌تر از سطح اهمیت یعنی 0.05 باشد، فرض لوگ نرمال تأیید و در غیر این صورت رد می‌شود. در شکل (۷) منحنی‌های قرمز رنگ مربوط به مقادیر P-Value پنجاه مدل تصادفی است و خطوط آبی رنگ نیز مربوط به مقادیر P-Value مدل میانگین می‌باشند. هم‌چنین خط‌چین سبز رنگ نیز بیانگر سطح اهمیت 0.05 می‌باشد.

در ضمن، مقادیر P-Value مربوط به مدل میانگین در حالت حدی CP از P-Value اکثر مدل‌های تصادفی دیگر بزرگ‌تر می‌باشد، اما این موضوع در مورد حالت حدی IO دقیقاً برعکس است و در این حالت حدی مقادیر P-Value در برخی از مدل‌ها به کمتر از 0.10 نیز می‌رسد.

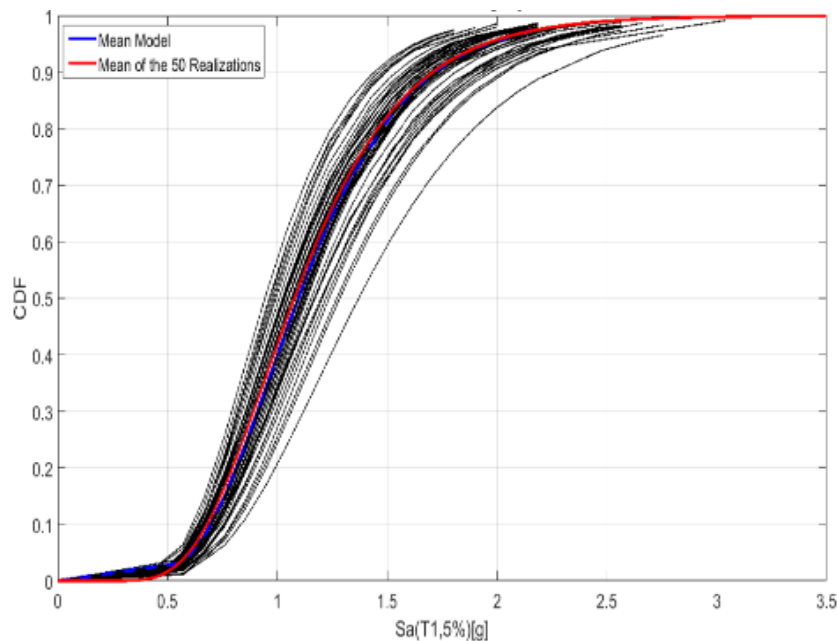
مقادیر P-Value مربوط به مدل میانگین و هر یک از پنجاه مدل تصادفی بزرگ‌تر از سطح اهمیت $\alpha = 0.05$ می‌باشد. این موضوع فرض لوگ نرمال را برای شتاب‌های طیفی در کلیه مدل‌ها، متناظر با هر سه حالت حدی تأیید می‌کند. از آنجا که دو حالت حدی CP و GI نسبتاً نزدیک به یکدیگر هستند، لذا مقادیر P-Value تنها برای حالت حدی CP ترسیم شده‌است.



(الف)



(ب)



(ج)

شکل ۸ منحنی‌های تحلیلی شکنندگی شتاب طیفی: الف) حالت حدی IO، ب) حالت حدی CP، ج) حالت حدی GI

دیگر در دو حالت حدی CP و GI اگر امکان انجام تحلیل دینامیکی افزایشی برای تمامی پنجاه نمونه نباشد، منحنی شکنندگی مربوط به مدل میانگین جواب نسبتاً قابل قبولی خواهد داشت، اما در مورد حالت حدی IO این گونه نیست و اثر عدم قطعیت‌های شناختی بسیار حائز اهمیت می‌باشد.

نتیجه‌گیری

در این تحقیق اثر عدم قطعیت‌های ذاتی و شناختی بر عملکرد لرزه‌ای قاب‌های خم‌شی فولادی مورد بررسی قرار گرفت. برای انجام این ارزیابی از تحلیل دینامیکی افزایشی تعمیم‌یافته استفاده شد. اثر عدم قطعیت‌های ذاتی با استفاده از چهار رکورد متفاوت زلزله مدل شد و برای لحاظ کردن اثر عدم قطعیت‌های شناختی، پنج پارامتر مدل سازی مصالح مفصل‌های پلاستیک اعضای سازه‌ای به صورت متغیر در نظر گرفته شد. سپس با استفاده از روش LHS منحنی‌های IDA مربوط به هریک از نمونه‌های تصادفی ایجاد شده، تولید شد تا اثر آنها بر منحنی‌های شکنندگی بررسی شود. نتایج این

در آخرین گام، منحنی‌های شکنندگی لرزه‌ای متناظر با هر سه حالت حدی برای کلیه مدل‌ها در شکل (۸) ترسیم شده‌اند. محور افقی، شتاب طیفی متناظر با حالات حدی مذکور است و محور قائم نیز معرف تابع توزیع احتمال آنها می‌باشد. نمودارهای سیاه‌رنگ مربوط به هر یک از پنجاه نمونه‌ی تصادفی تولیدشده، نمودار آبی‌رنگ مربوط به مدل میانگین و نمودار قرمز رنگ نیز مربوط به میانگین پنجاه نمونه‌ی تصادفی می‌باشد. مطابق شکل، اختلاف منحنی شکنندگی مدل میانگین و میانگین پنجاه مدل در حالت حدی IO قابل ملاحظه می‌باشد، اما این اختلاف در دو حالت حدی CP و GI کمتر است. در ضمن، منحنی‌های شکنندگی مربوط به دو حالت حدی CP و GI بسیار نزدیک به یکدیگر می‌باشند که این موضوع نیز مؤید نتایج به دست آمده قبلی می‌باشد. در واقع می‌توان گفت که پارامترهای دارای عدم قطعیت شناختی در منحنی لنگر چرخش مفاصل پلاستیک تیرها و ستون‌های قاب خمشی متوسط فولادی بیشترین تأثیر خود را بر منحنی شکنندگی متناظر با حالت حدی IO دارند. به عبارت

اما این اختلاف در دو حالت حدی CP و GI کمتر است.

۴. در واقع می توان گفت که پارامترهای دارای عدم قطعیت شناختی در منحنی لنگر چرخش مفاصل پلاستیک تیرها و ستون های قاب خمشی متوسط فولادی بیشترین تأثیر خود را بر منحنی شکنندگی متناظر با حالت حدی IO دارند.

لازم به ذکر است که در این مقاله با توجه به تعداد زیاد تحلیل ها از تعداد پنجاه نمونه برای بررسی عدم قطعیت ها استفاده شد. هرچه تعداد نمونه ها بیشتر باشد پراکندگی نتایج کمتر می شود و مقادیر عدم قطعیت ها کاهش می یابند. در مورد منحنی های IDA می توان گفت که احتمالاً منحنی صدک های ۱۶ و ۸۴ درصد به منحنی میانه نزدیک خواهند شد. در منحنی های شکنندگی نیز اختلاف منحنی مدل میانگین و میانگین پنجاه مدل کمتر خواهد شد.

مطالعه به طور خلاصه به شرح زیر می باشد:

۱. با توجه به نمودارهای IDA می توان گفت که عدم قطعیت های ذاتی رکورد به رکورد زلزله بس یار تأثیر گذار است، چرا که در هر مدل پراکندگی پاسخ های لرزه ای سازه در سطوح مختلف اندازه ی شدت (به خصوص در سطوح بالاتر) قابل توجه می باشد.

۲. عدم قطعیت های شناختی مربوط به پارامترهای مدل مفاصل پلاستیک، باعث تغییرات قابل ملاحظه ای در پاسخ لرزه ای سازه می شود. برای مثال در مدل میانگین، اولین و آخرین رکورد زلزله به ترتیب در سطوح 0.6g و 2.3g به حد خرابی می رسد. این در حالی است که در سایر مدل ها، اولین و آخرین رکورد زلزله به ترتیب در سطوح 0.4g و 3.25g به حد خرابی می رسد.

۳. اختلاف منحنی شکنندگی مدل میانگین و میانگین پنجاه مدل در حالت حدی IO قابل ملاحظه می باشد،

مراجع

- Horspool, N.A., King, A.B., Lin, S.L., and Uma, S.R., "Damage and losses to residential buildings during the Canterbury earthquake sequence.", *2016 New Zealand Society for Earthquake Engineering, Conference*. (2016).
- Jiang, L., and Ye, J., "Quantifying the Effects of Various Uncertainties on Seismic Risk Assessment of CFS Structures", *Bulletin of Earthquake Engineering*, Vol. 18, No. 1, pp. 241-272, (2020).
- Jiang, L., Hong, Z., and Hu, Y., "Effects of Various Uncertainties on Seismic Risk of Steel Frame Equipped with Steel Panel Wall", *Bulletin of Earthquake Engineering*, Vol. 16, No. 12, pp. 5995-6012, (2018).
- Jalayer, F. "Direct probabilistic seismic analysis: implementing non-linear dynamic assessments", Stanford University, 2003.
- O'Reilly, G.J., and Sullivan, T.J., "Quantification of Modelling Uncertainty in Existing Italian RC Frames", *Earthquake Engineering and Structural Dynamics*, Vol. 47, No. 4, pp. 1054-1067, (2018).
- Dolsek, M., "Estimation of Seismic Response Parameters through Extended Incremental Dynamic Analysis", *Computational methods in earthquake engineering*. Springer, Dordrecht, pp. 285-304, (2011).

7. Shinozuka, M., Feng, M. Q., Lee, J., and Naganuma, T., "Statistical Analysis of Fragility Curves", *Journal of Engineering Mechanics*, Vol. 126, No. 12, pp. 1224–1231, (2000).
8. Banerjee, S., and Shinozuka, M., "Mechanistic Quantification of RC Bridge Damage States under Earthquake through Fragility Analysis", *Probabilistic Engineering Mechanics*, Vol. 23, No. 1, pp. 12–22, (2008).
9. Celik, O.C., Ellingwood, B.R., "Seismic Fragilities for Non-ductile Reinforced Concrete Frames–Role of Aleatoric and Epistemic Uncertainties", *Structural Safety*, Vol. 32, No. 1, pp. 1-12, (2010).
10. Ajamy, A., Zolfaghari, M.R., Asgarian. B., and Ventura, C. E., "Probabilistic Seismic Analysis of Offshore Platforms Incorporating Uncertainty in Soil-pile-structure Interactions", *Journal of Constructural Steel research*, Vol. 101, Pp. 265-279, (2014).
11. Asgarian, B., and Ordoubadi, B., "Effects of Structural Uncertainties on Seismic Performance of Steel Moment Resisting Frames", *Journal of Constructural Steel research*, Vol. 120, Pp.132–42, (2016).
12. Heidary-Torkamani, H., Bargi, K., Amirabadi. R., and McClough, N.J., "Fragility Estimation and Sensitivity Analysis of an Idealized Pile-supported Wharf with Batter Piles", *Soil Dynamics and Earthquake Engineering*, Vol. 61, pp. 92–106, (2014).
۱۳. شمس، محمد مهدی، «ارزیابی قابلیت اعتماد قاب‌های بتنی با در نظر گرفتن عدم قطعیت‌های ذاتی و شناختی»، پایان‌نامه کارشناسی ارشد، دانشکده مهندسی عمران، دانشگاه خواجه نصیرالدین طوسی، (۱۳۹۲).
۱۴. رضایی، فاطمه، گرامی، محسن، نادرپور، حسین، «ارزیابی قابلیت اطمینان لرزه‌ای قاب‌های خمشی فولادی به سازی شده با مهاربندهای هم‌گرا با مدل‌های احتمالاتی»، نشریه مهندسی سازه و ساخت، (۴)، صفحات ۱۸–۵، (۱۳۹۶).
15. Kayhani, A., Drabonian, R., Mohsenian, V., and Naderi, R., "Probabilistic Assessment of the Effects of the Uncertainty on the Seismic Performance of Steel Frames Equipped with Tuned Mass Damper", *Sharif Journal of Civil Engineering*, Vol. 34, No. 2, pp. 41-50, (2018).
۱۶. آیین‌نامه‌ی طراحی ساختمان‌ها در برابر زلزله (استاندارد ۲۸۰۰)، ویرایش ۴، مرکز تحقیقات راه و مسکن و شهرسازی، (۱۳۹۳).
۱۷. مقررات ملی ساختمان، مبحث ششم: بارهای وارد بر ساختمان، دفتر تدوین و ترویج مقررات ملی ساختمان، (۱۳۹۲).
18. American Institute of Steel Construction (AISC), "Specification for Structural Steel Buildings", ANSI/AISC 360-10, Chicago, (2010).
19. McKenna, F. "OpenSees: a framework for earthquake engineering simulation", *Computing in Science & Engineering*, Vol. 13, No. 4, pp. 58-66, (2011).
20. Charney, F.A., "Unintended Consequences of Modeling Damping in Structures", *Journal of Structural Engineering*, Vol. 134, No. 4, pp. 581–92, (2008).
21. Ibarra, L.F., and Krawinkler, H., "Global Collapse of Frame Structures under Seismic Excitations", Pacific Earthquake Engineering Research Center Berkeley, CA, (2005).
22. Lignos, D.G., and Krawinkler, H., "Deterioration Modeling of Steel Components in sSupport of Collapse Prediction of Steel Moment Frames under Earthquake Loading", *Journal of Structural*

- Engineering*, Vol. 137, No. 11, pp. 1291–302, (2011).
23. Gholipour, Y., Bozorgnia, Y., Rahnama, M., Berberian, M., and Shojataheri, J., "Probabilistic Seismic Hazard Analysis, Phase I–greater Tehran Regions", Faculty of Engineering, Tehran University, Tehran, (2008).
 24. Center, P. E. E. R., "PEER Ground Motion Database", Pacific Earthquake Engineering Research Center, University of California Berkeley, CA, (2013).
 25. Lemaire, M., "Structural Reliability", John Wiley & Sons, pp. 233-265, (2013).
 26. McKay, M.D., Beckman, R.J., and Conover, W.J., "Comparison of Three Methods for Selecting Values of Input Variables in the Analysis of Output from a Computer Code", *Technometrics*, Vol. 21, No. 2, pp. 239–45, (1979).
 27. Vořechovský, M., and Novák, D., "Correlation Control in Small-sample Monte Carlo type Simulations I: A Simulated Annealing Approach", *Probabilistic Engineering Mechics*, Vol. 24, No. 3, pp. 452–62, (2009).
 28. Benjamin, J.R., and Cornell, C.A., "Probability, Statistics and Decision for Civil Engineers", New York: McGraw- Hill, pp. 370-499, (1970).
 29. Soong, T.T., "Fundamentals of Probability and Statistics for Engineers", John Wiley & Sons, (2004).
 30. Walpole, R.E., Myers, R.H., Myers, S.L., and Ye, K., "Probability and Statistics for Engineers and Scientists", Pearson (2012).
 31. Rahnama, M., and Krawinkler, H., "Effects of Soft Soil and Hysteresis Model on Seismic Demands", Report No. 108, Stanford University, John A. Blume Earthquake Engineering Center, pp. 34-61, (1993).
 32. FEMA., "Recommended Seismic Design Criteria for New Steel Moment-frame Buildings", Report No. FEMA-350 SAC Joint Venture, Federal Emergency Management Agency, Washington, DC, (2000).

